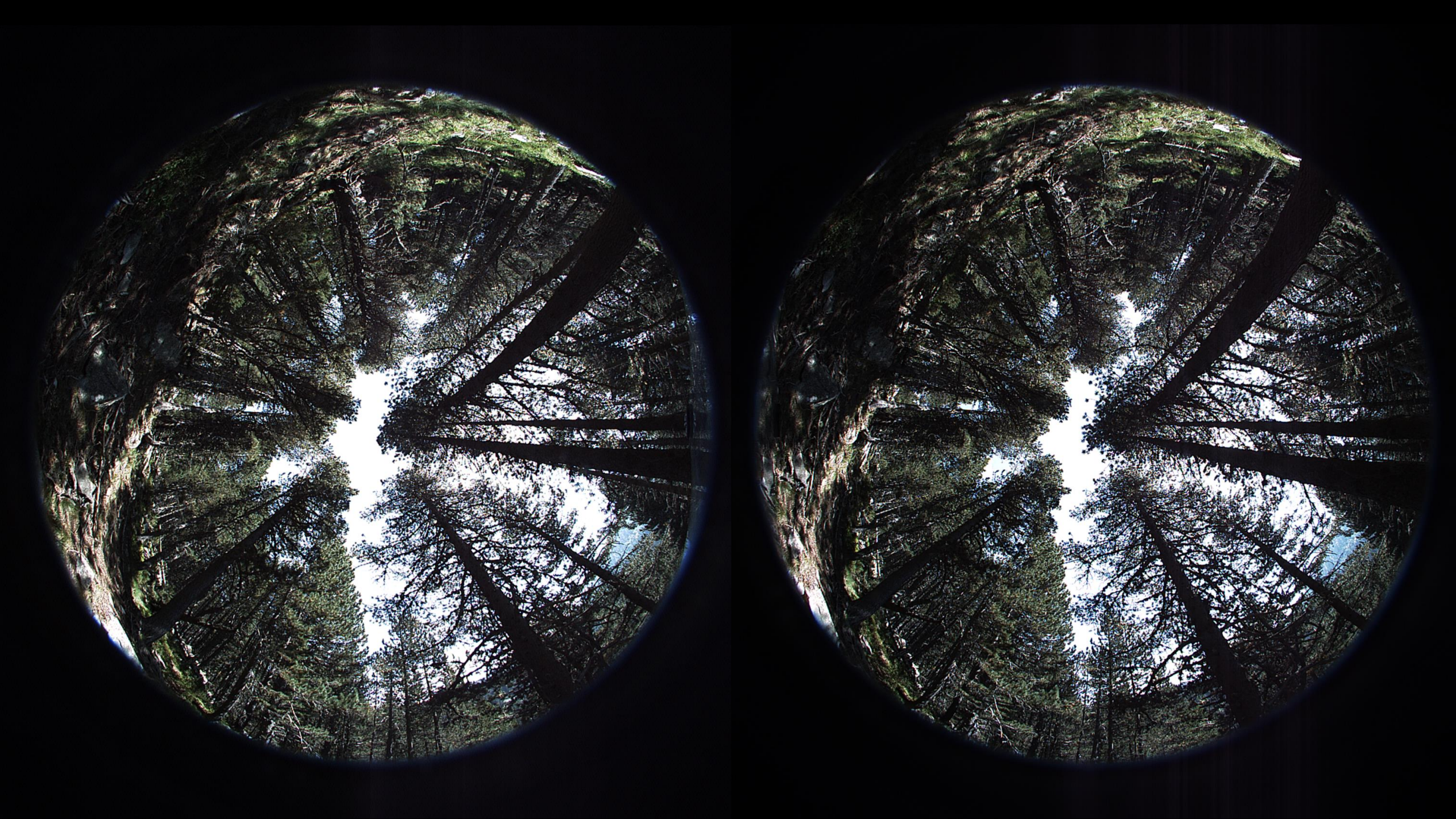
ForeStereo: Análisis de la estructura forestal en las parcelas del IFN a partir de imágenes estereoscópicas hemisféricas







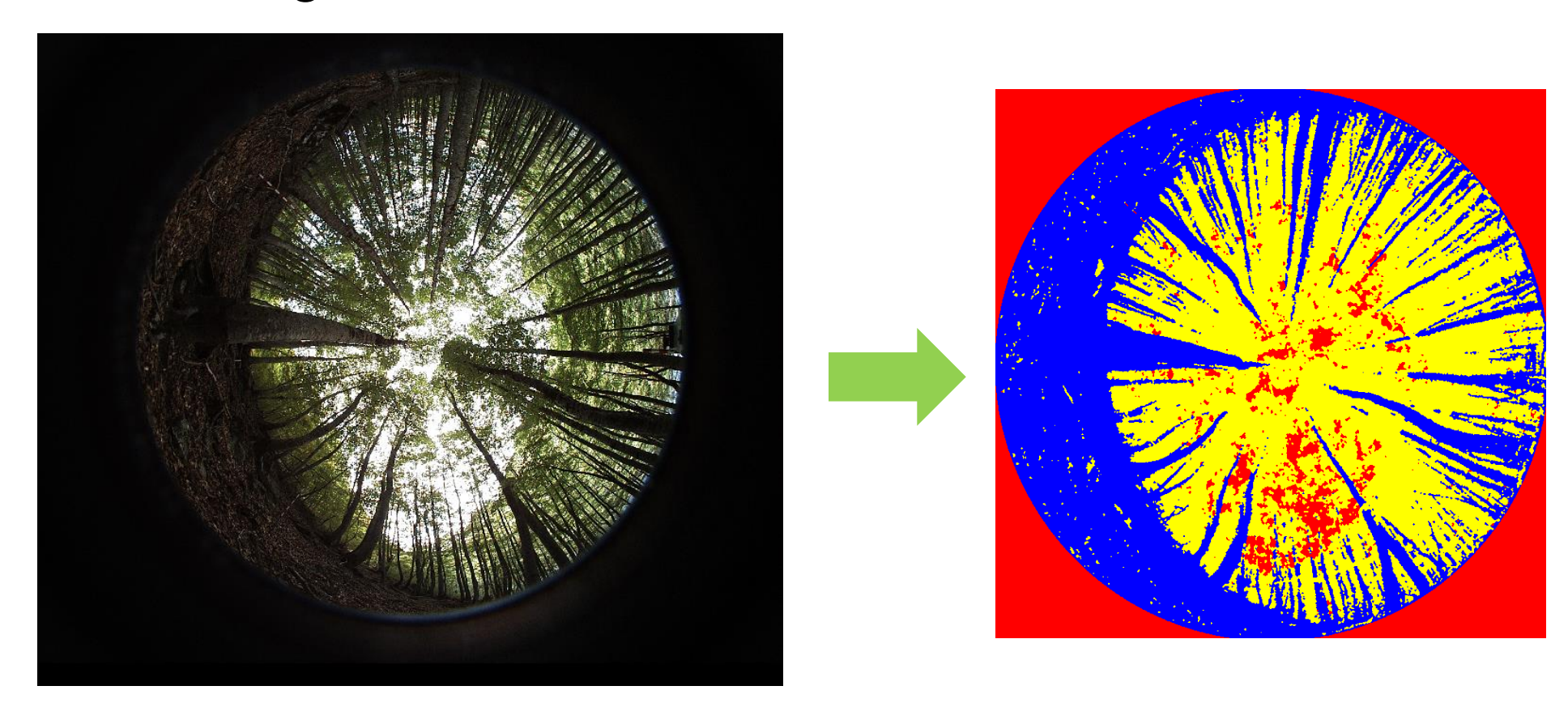
Desarrollo del prototipo



Software de adquisición específico para inventario forestal

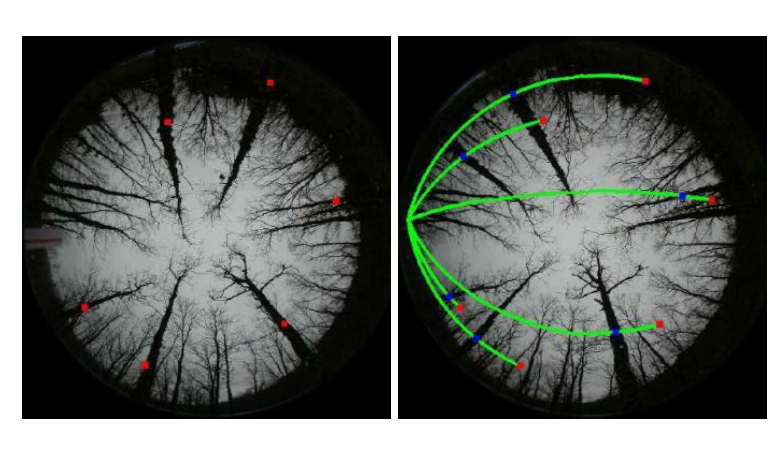
Segmentación de la imagen

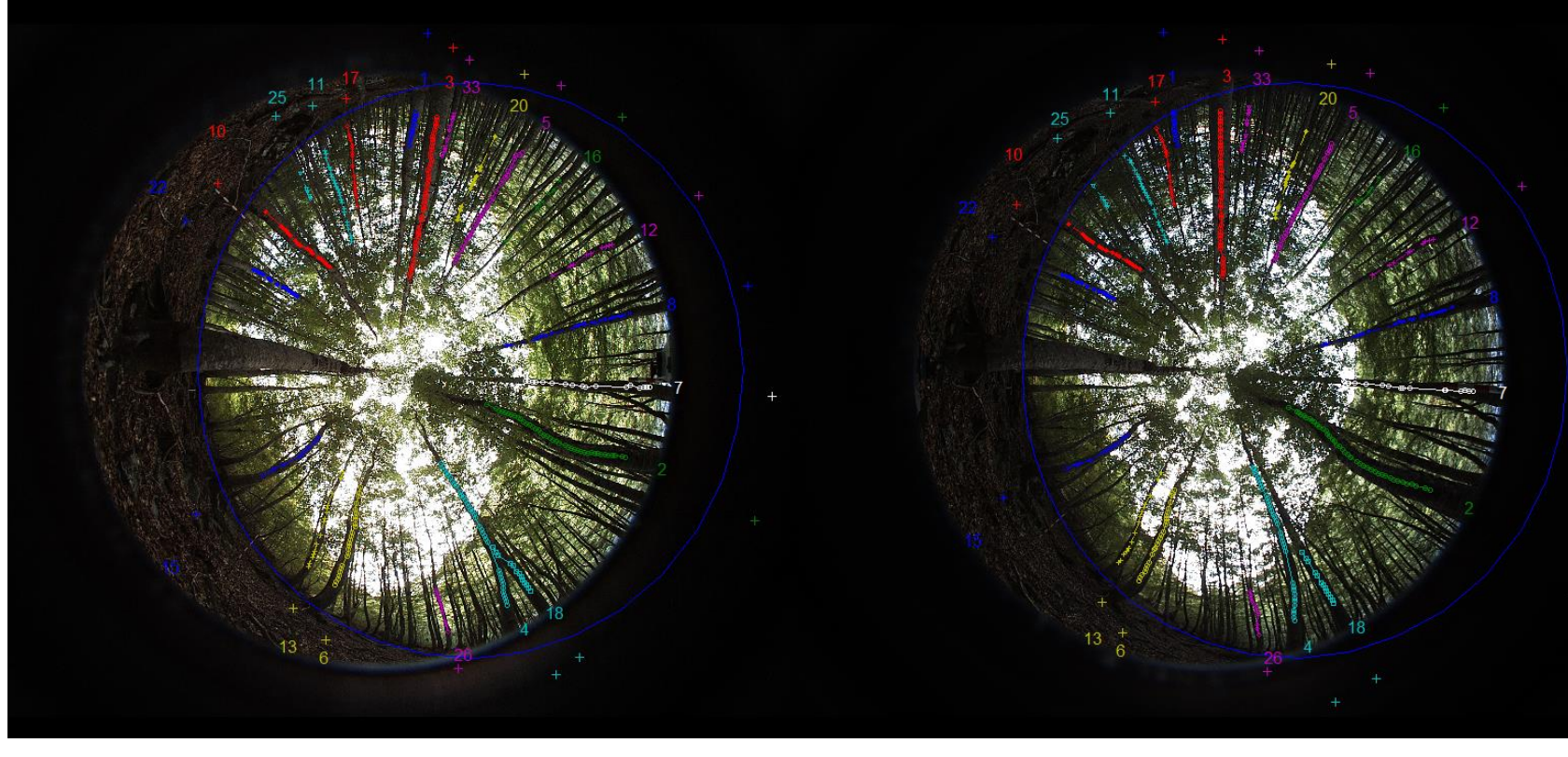
- Clasificación de los píxeles
- Criterios: intensidad, varianza, saturación del color verde
- Restricciones geométricas



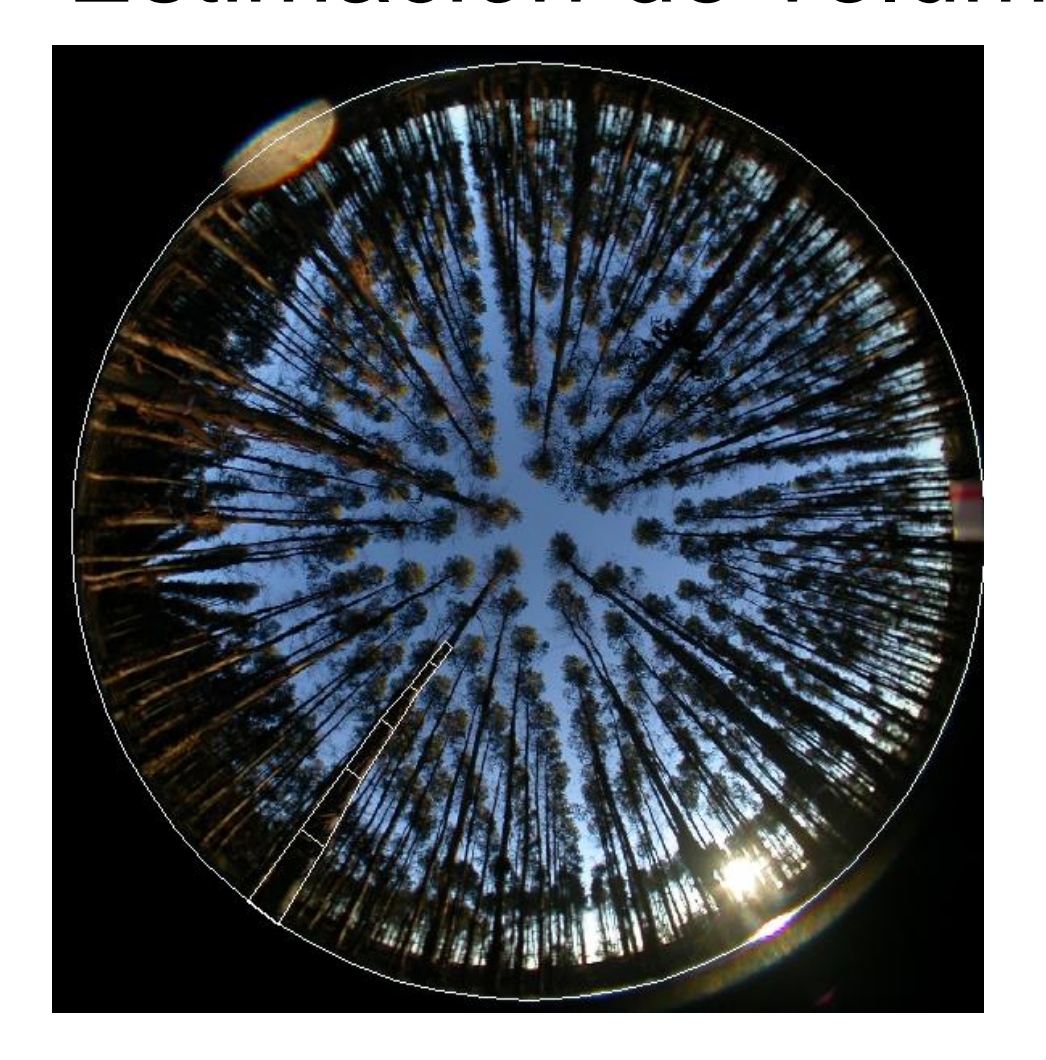
Correspondencia

- Identificación de homólogos en las dos imágenes
- Restricciones: Epipolar, geométricas, semejanza, unicidad





Estimación de volumen



Imagenes estereoscópicas

Análisis automático de imagen

Segmentación guiada por el usuario

Distancia, rumbo, diámetro, altura de las secciones medidas

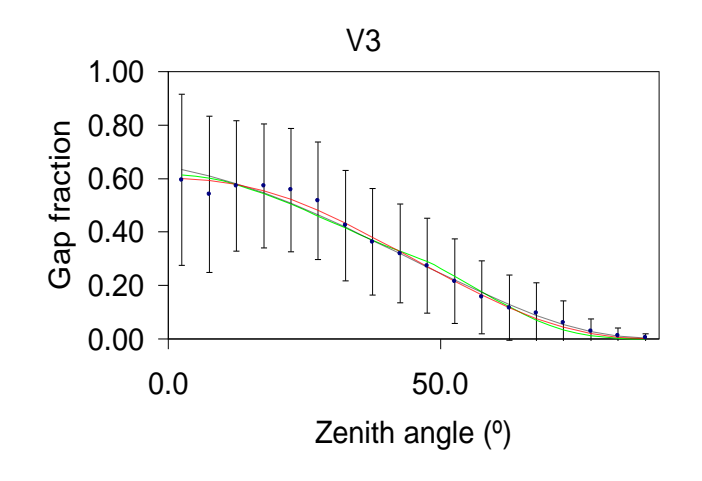
Ecuaciones de perfil

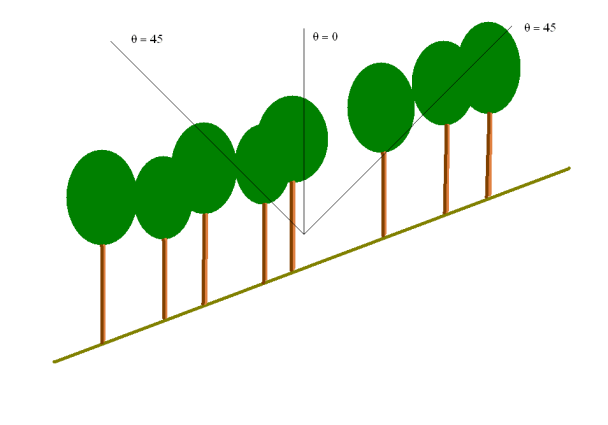


Variables de árbol: Posición, DBH, volumen

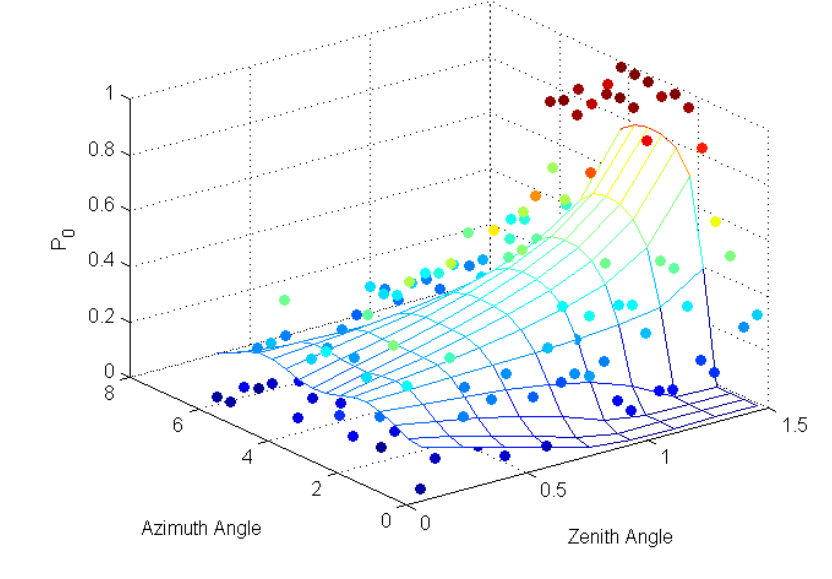
Estimación de LAI







$$P_0 = e^{-L_{e\!f} igl(\Omega_0 \cos^2(heta + \sigma_lpha) + \sin^2(heta + \sigma_lpha)igr)\!G(heta)igl/\cos(heta + \sigma_lpha)}$$



Clasificación de especies

Trained Clustering

• Basada en:

Textura Color Forma

del fuste

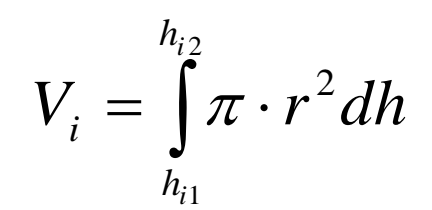


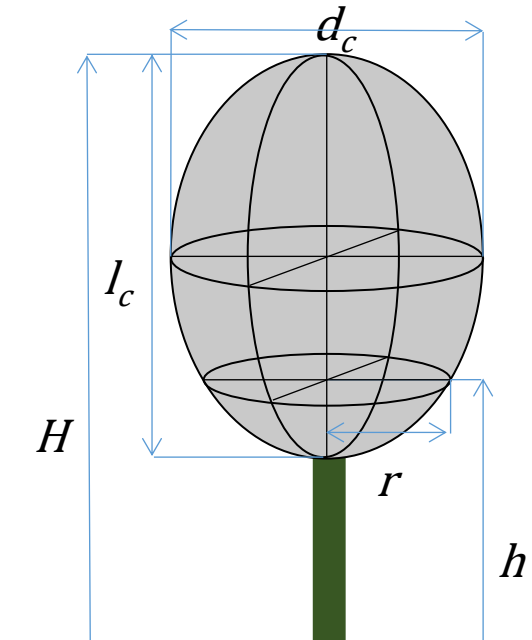




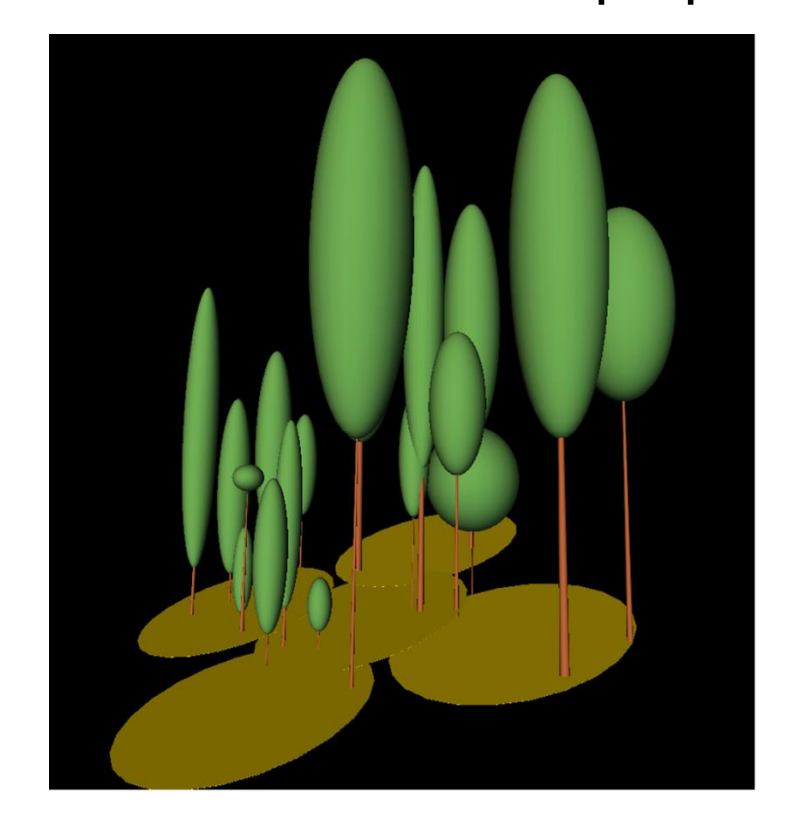
Estructura forestal

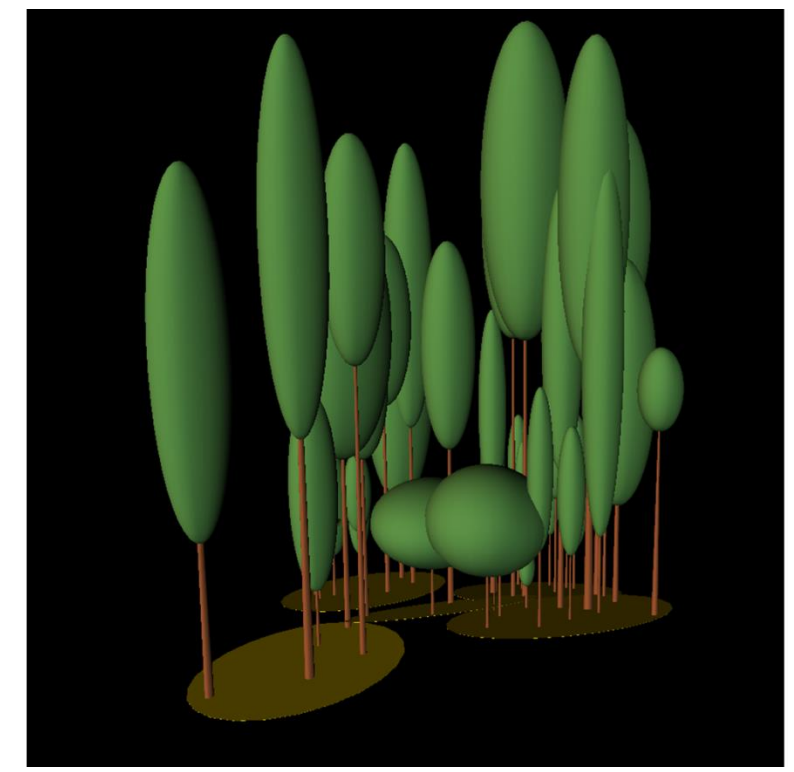
- Distribución espacial
- Clasificación diamétrica

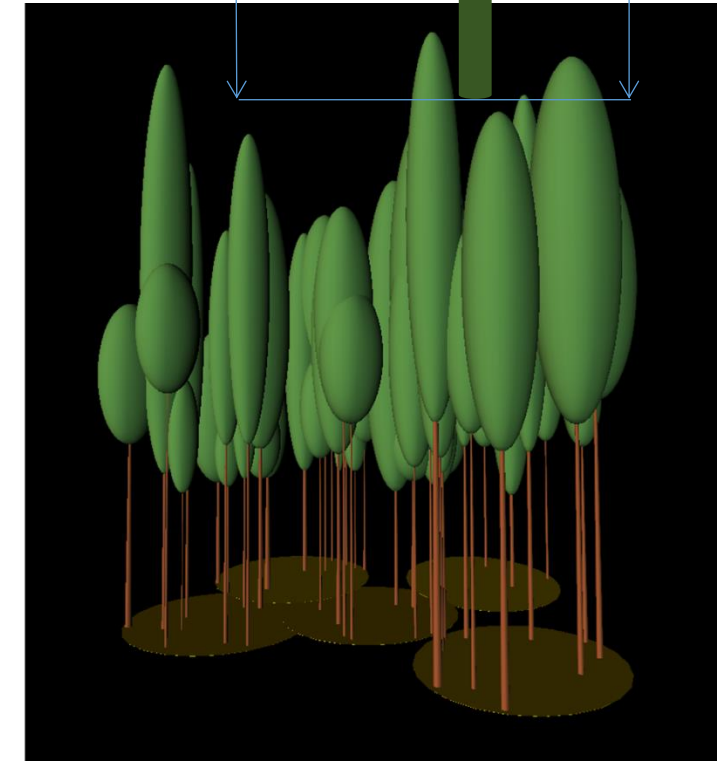




Volumen de copa por estratos verticales (GEPRIF)



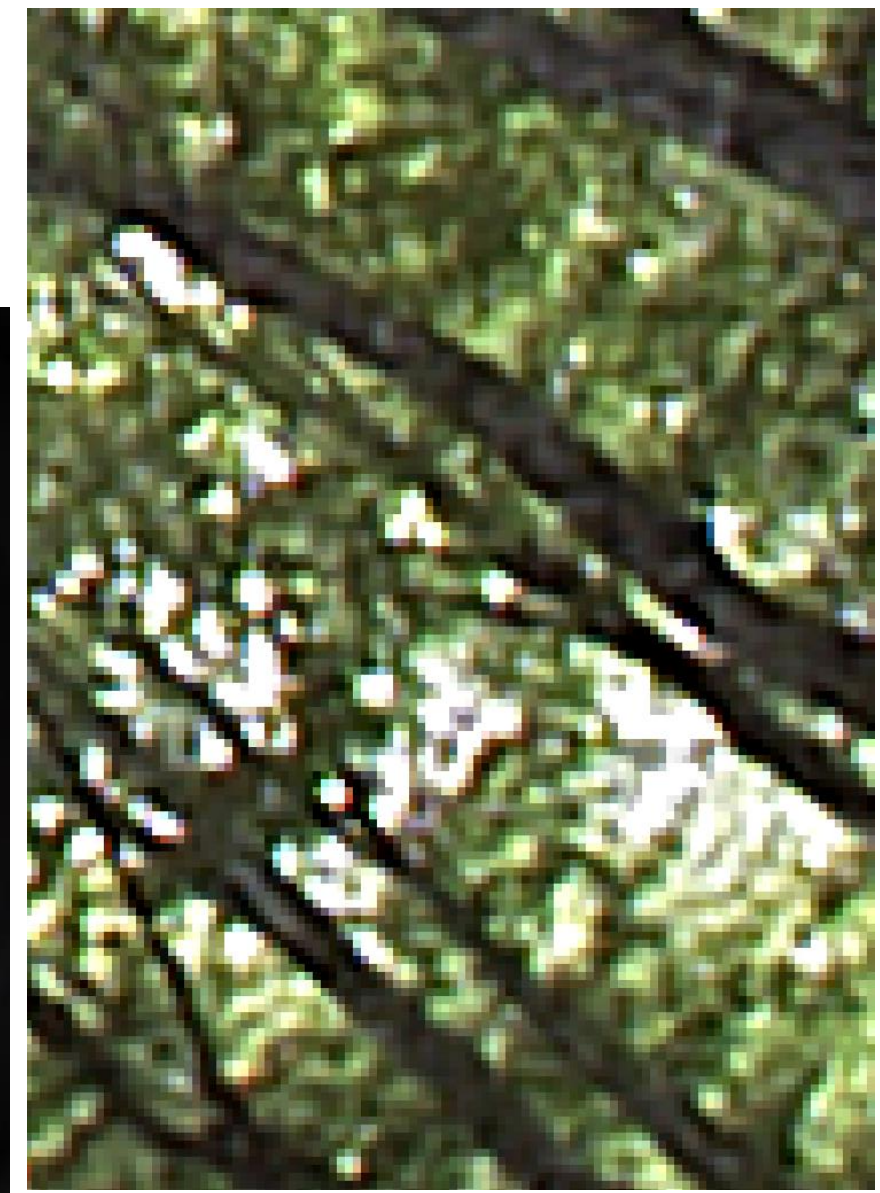




Estimación de N/ha y área basimétrica

- Sesgo instrumental
- Oclusiones





Distance sampling

Función de detección

$$P_i = \frac{2}{R^2} \int_0^R r * g(r, \widehat{\boldsymbol{\theta}})$$

Half-normal

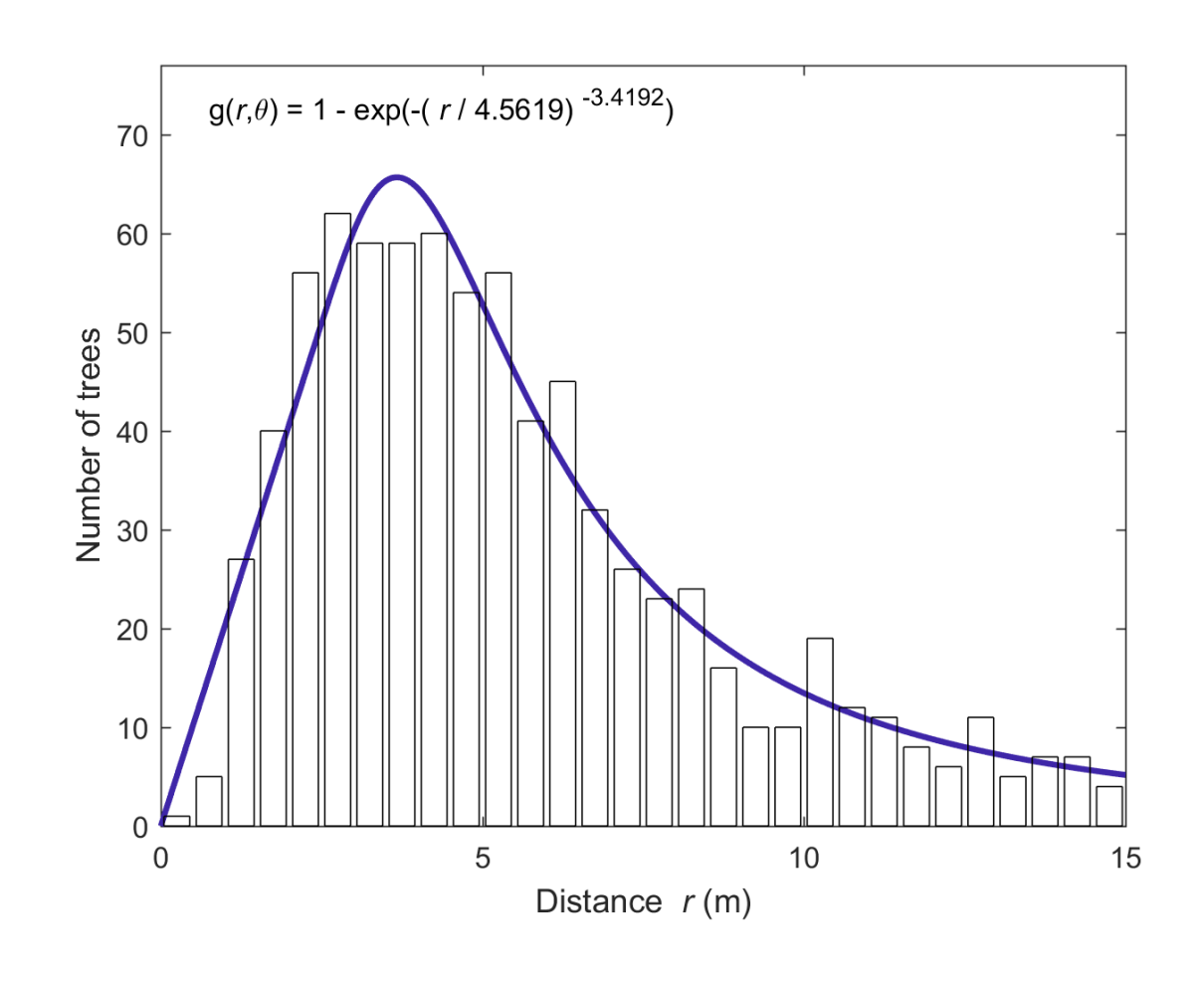
$$g(r, \mathbf{\theta}) = \exp(-r^2/(2\sigma^2))$$

Hazard-rate

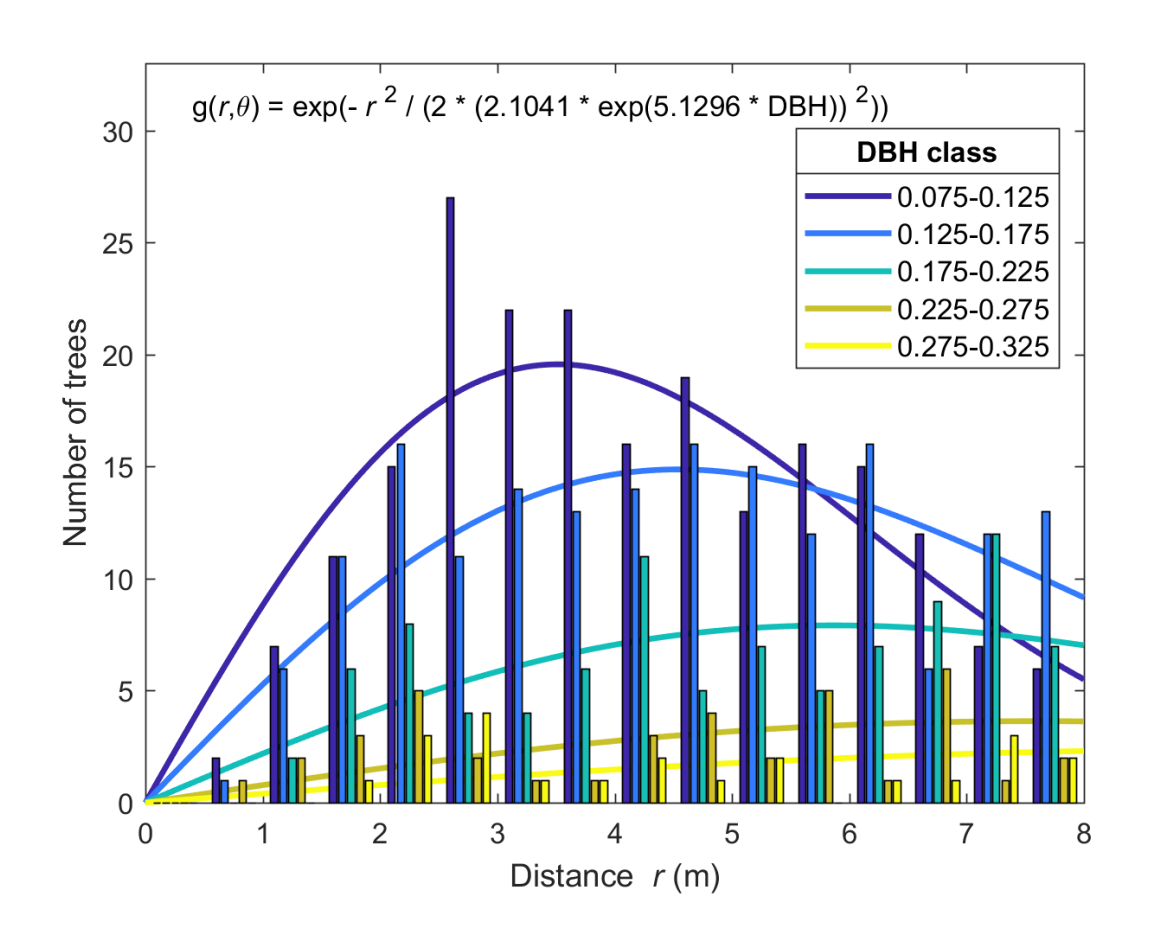
$$g(r, \mathbf{\theta}) = 1 - \exp(-(r/\sigma)^{-b})$$

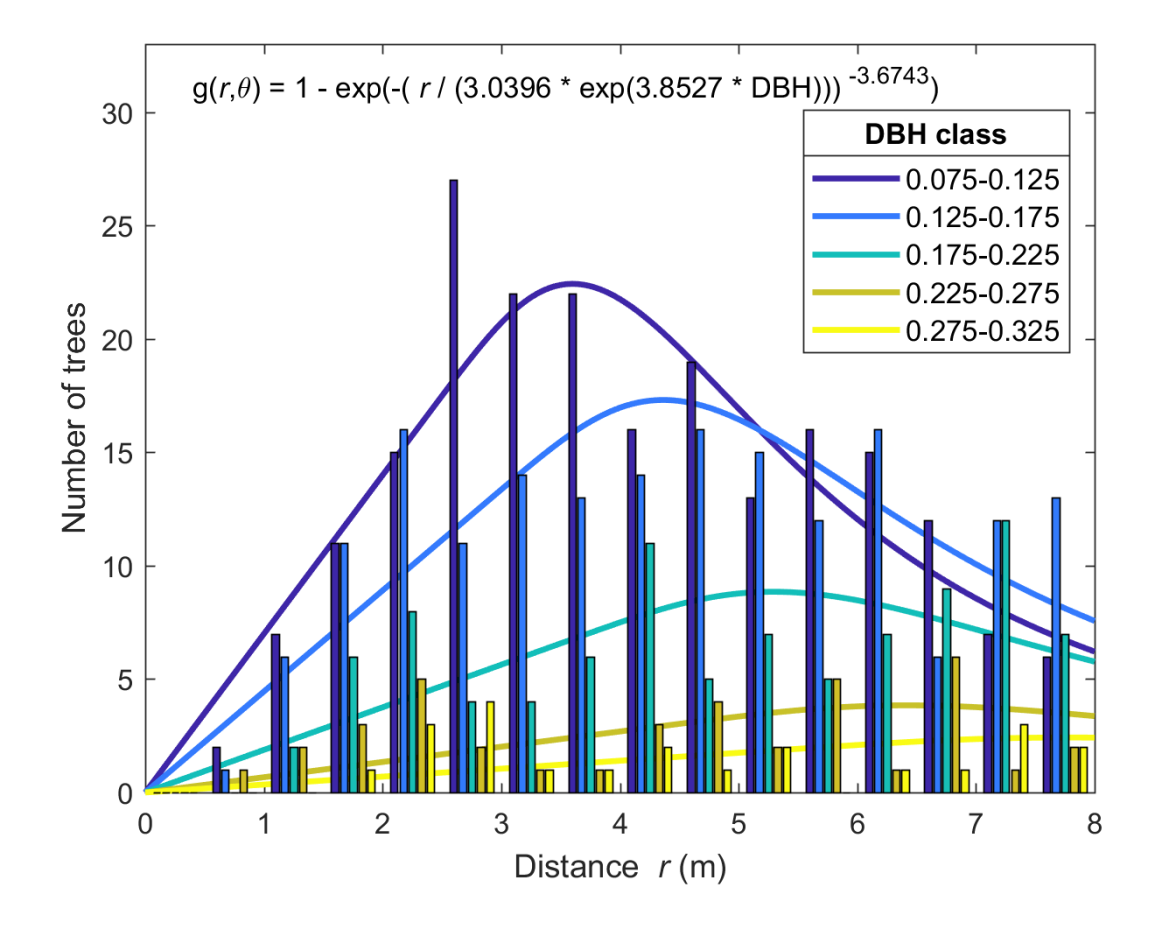
 Se puede incluir el diámetro como covariable

$$\sigma = \alpha_0 \cdot \exp(\alpha_1 \cdot \text{DBH})$$



Distance sampling



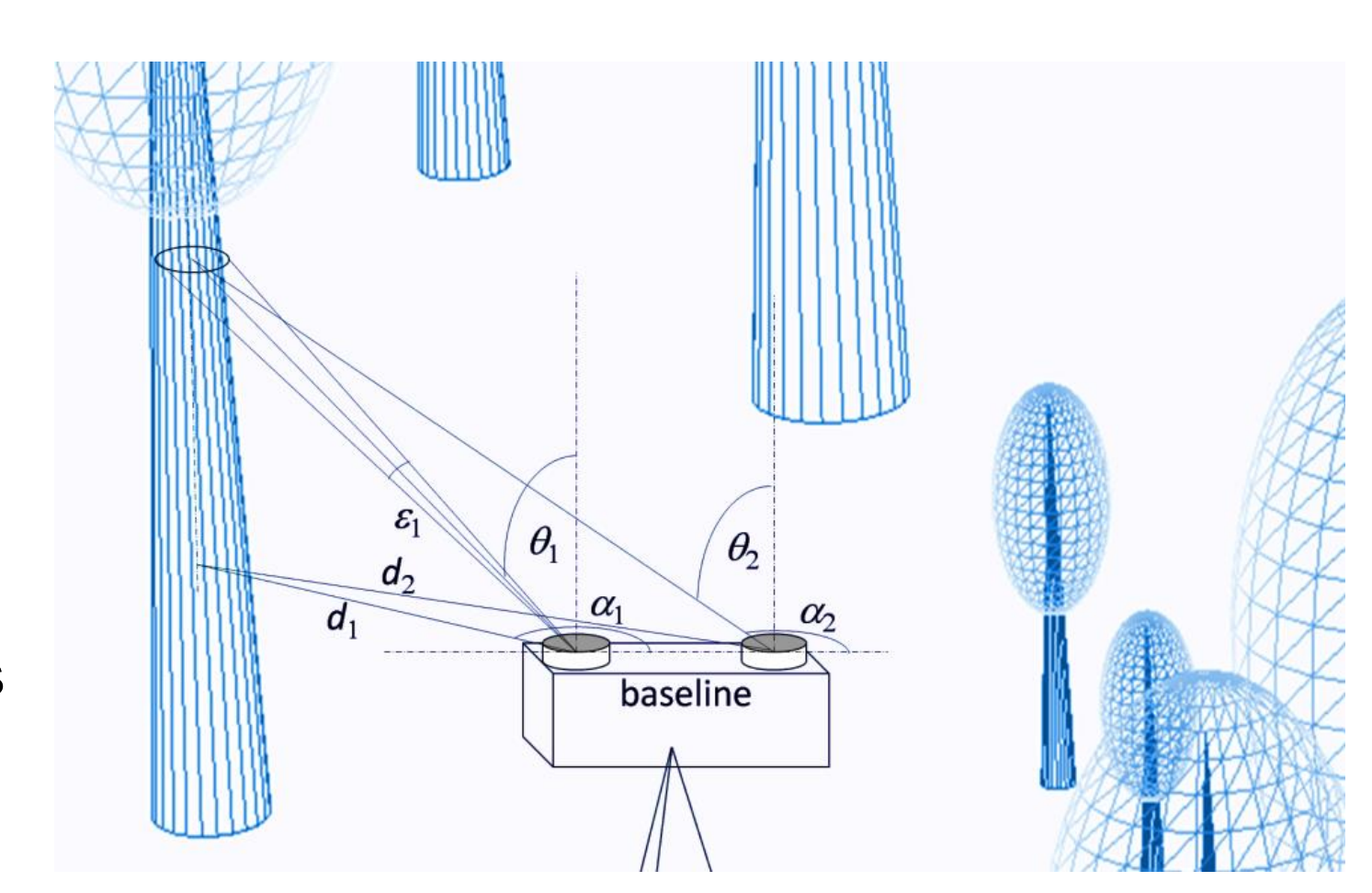


Corrección fotogramétrica hemisférica

Corrección reláscopica

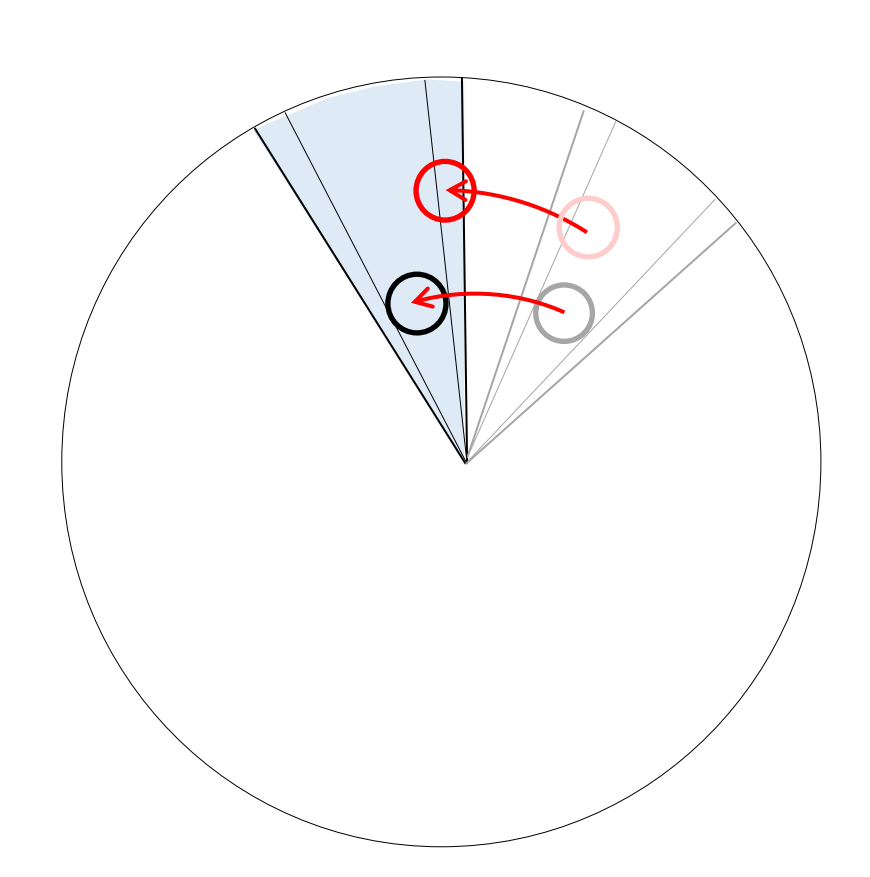
- El radio máximo de detección depende del diámetro de las secciones detectadas
- El radio máximo cambia con el ángulo de inclinación d
- δ depende del azimuth α
- Banda de selección: 7 píxeles

$$r_{\text{max}} \propto \frac{Diam * \cos(\delta)}{\sin(b_{selección})}$$



Corrección fotogramétrica hemisférica

Oclusiones



• Ángulo de oclusión del árbol *i* sobre el árbol *0* en la imagen izquierda:

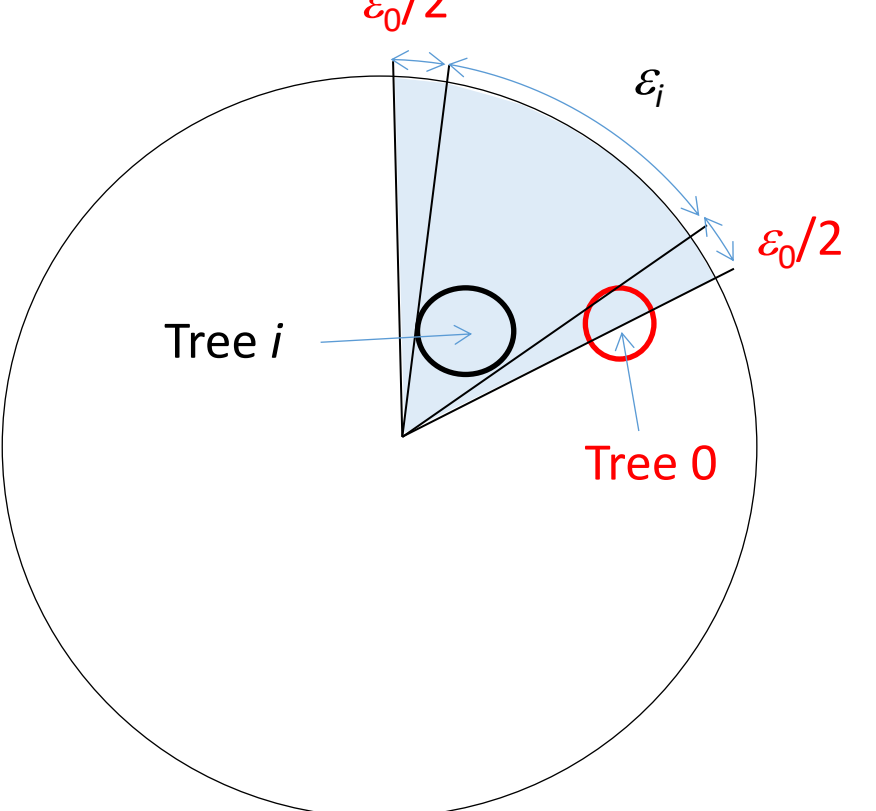
$$o_{_{i01}}=\varepsilon_{_{i1}}+\varepsilon_{_{01}}$$

 Probabilidad de oclusión en imagen izqda:

$$P_{01} = \frac{2\pi - \sum_{d_{01} < d_{i1}} o_{i01}}{2\pi}$$

 Probabilidad en las 2 imagenes estereoscópicas

$$P_{0} = P_{01} \cdot (P_{02} | P_{01})$$

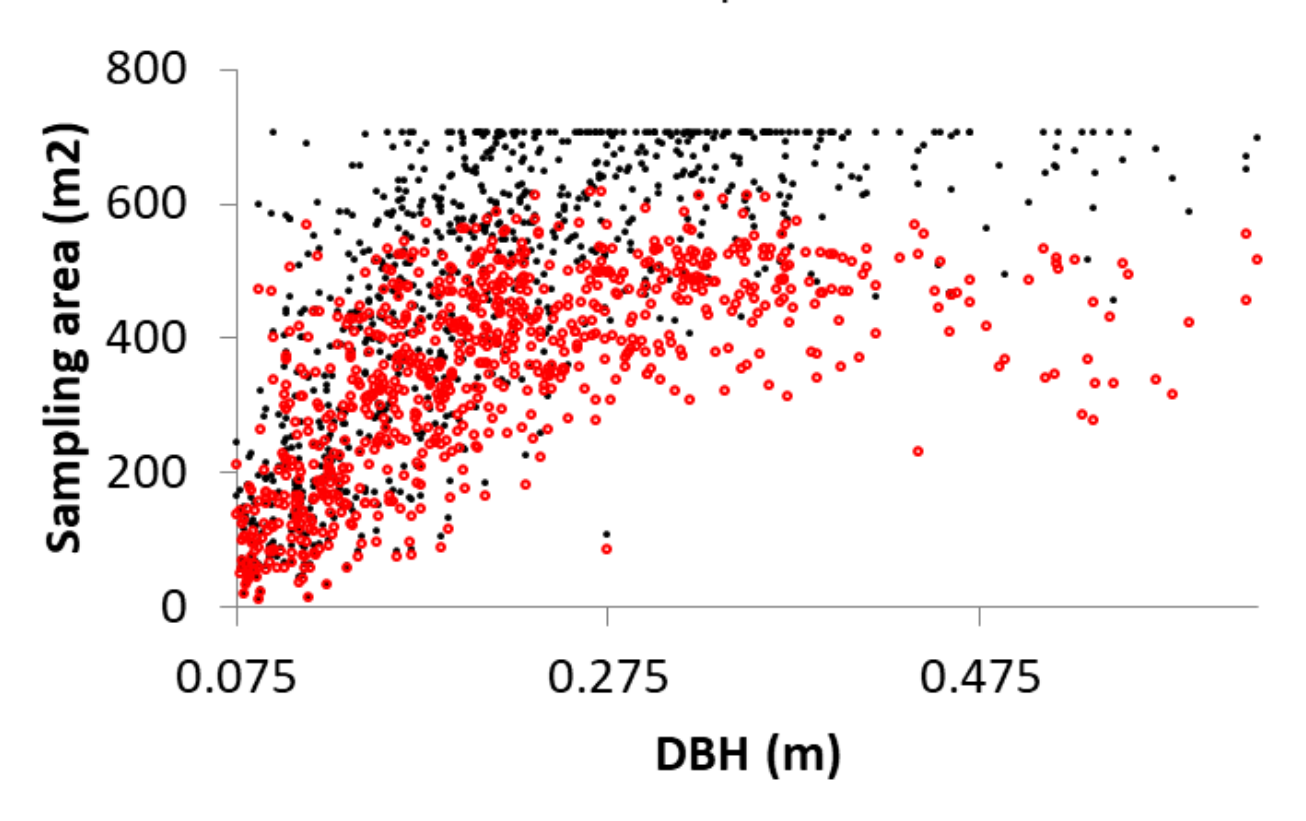


Corrección fotogramétrica hemisférica

Área de parcela diferente para cada árbol que depende de:

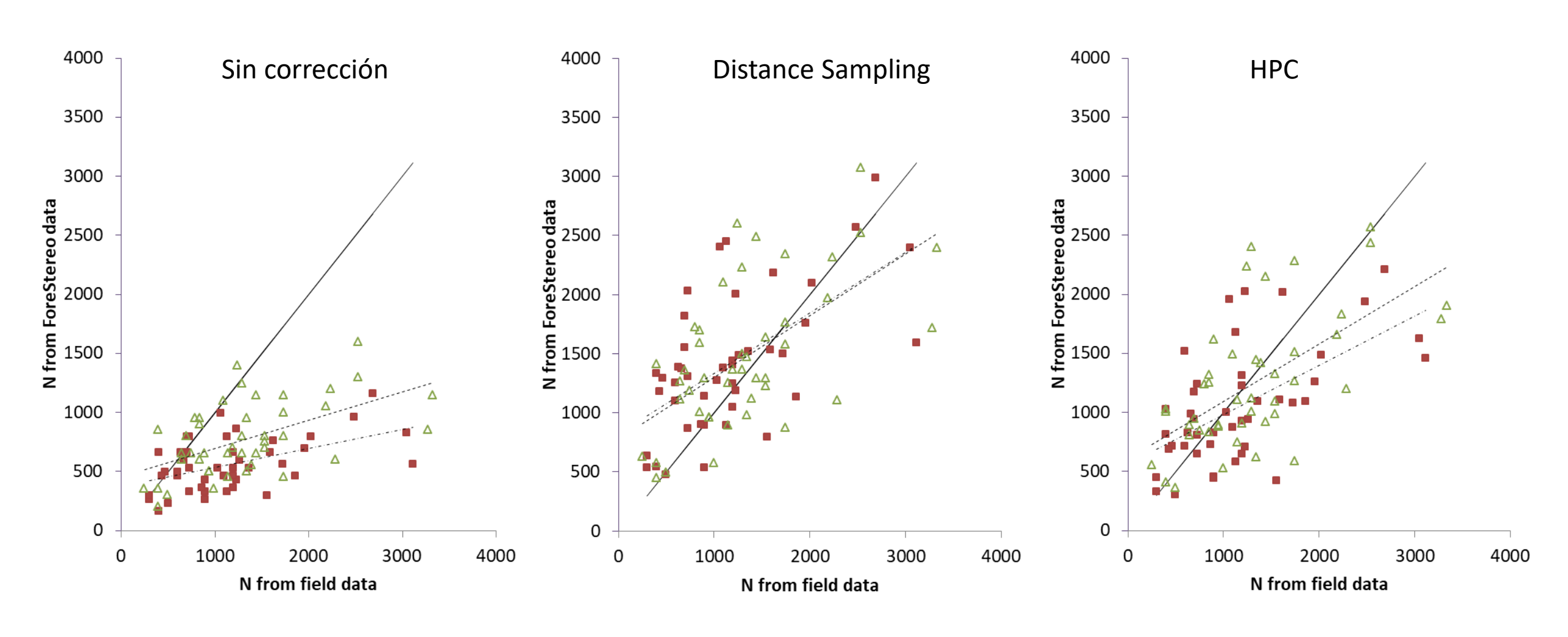
- diámetro y altura de las secciones detectadas
- densidad de la parcela
- posición de los árboles

- · Corrección reláscopica
- Corrección relascópica + oclusiones



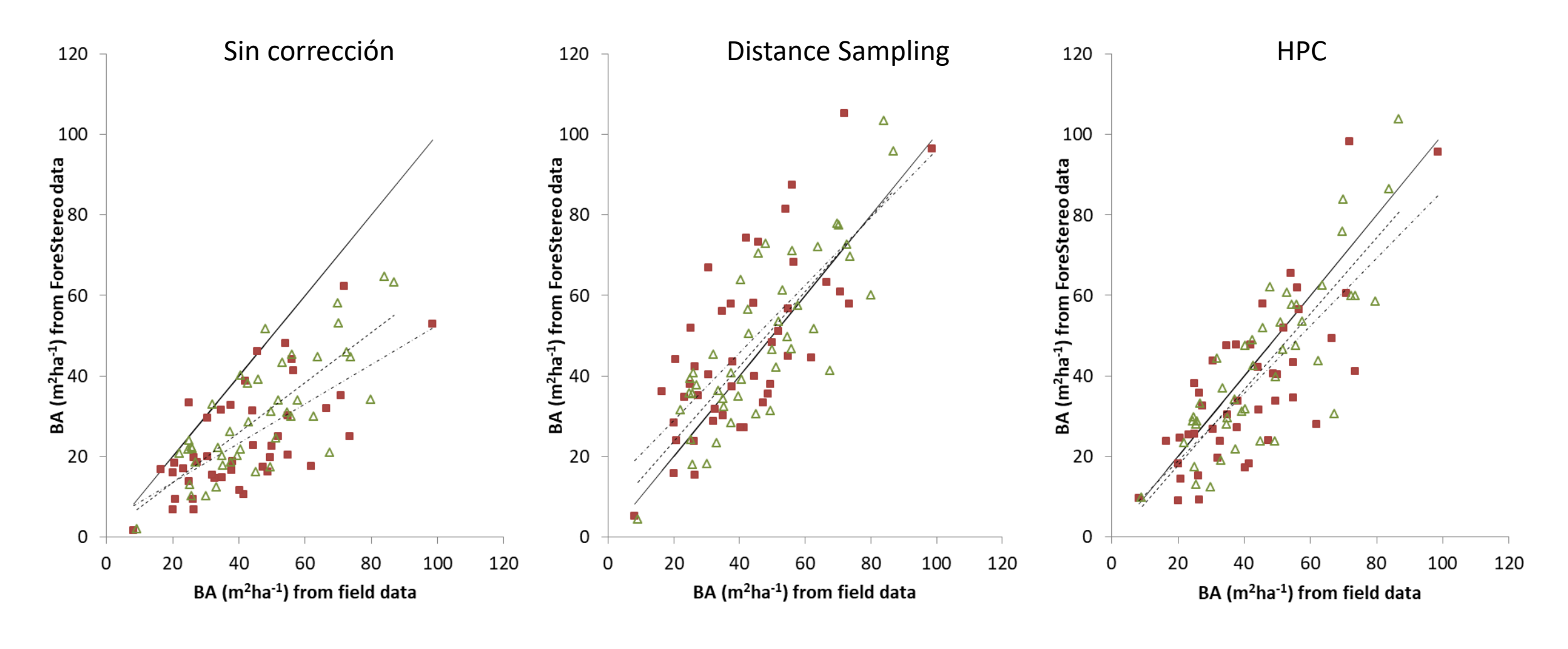
Número de pies por ha

Radio de parcela = 8 m



Radio de parcela = 9,8 m

Área basimétrica



△ Radio de parcela = 8 m

Radio de parcela = 9,8 m

Distribución diamétrica

